

УДК 532.59

## ЗАТУХАЮЩИЕ СОБСТВЕННЫЕ КОЛЕБАНИЯ ЖИДКОСТИ В СКВАЖИНЕ, СООБЩАЮЩЕЙСЯ С ПЛАСТОМ

В. Ш. Шагапов, Р. А. Башмаков\*, Г. Р. Рафикова, З. З. Мамаева

Институт механики им. Р. Р. Мавлютова Уфимского федерального  
исследовательского центра РАН, 450054 Уфа, Россия

\* Башкирский государственный университет, 450000 Уфа, Россия

E-mails: Shagapov@rambler.ru, Bashmakov\_Rustem@mail.ru,  
rafikova\_guzal@mail.ru, zilia16@mail.ru

Исследуются собственные колебания столба жидкости в вертикальной скважине, возникающие при резком закрытии или открытии скважины (гидроударе). При этом период колебаний, интенсивность их затухания определяются не только протяженностью столба жидкости в скважине, ее диаметром и реологическими свойствами жидкости, но и коллекторскими характеристиками призабойной зоны пласта (в частности, коэффициентами проницаемости, качеством перфорации скважин и свойствами трещин, образовавшихся вследствие гидроразрыва пласта). С использованием математической модели, описывающей движение столба жидкости в скважине и фильтрацию в призабойной зоне, найдены решения задачи о собственных затухающих колебаниях столба жидкости в скважине. Получены характеристические уравнения для определения комплексных частот (частоты колебаний и коэффициента затухания). Изучены зависимости частоты колебаний, коэффициента затухания и декремента затухания от проницаемости пласта, найдена амплитуда колебаний в различных точках скважины.

Ключевые слова: собственные колебания, собственные частоты, гидроудар, скважина, фильтрация жидкости, затухающие колебания.

DOI: 10.15372/PMTF20200401

**Введение.** При эксплуатации нефтяных скважин важен оперативный контроль состояния призабойной зоны пласта, особенно после проведения ремонтных работ и обработки призабойной зоны с целью улучшения ее коллекторских характеристик.

Одним из способов существенного изменения дебита скважины является гидроразрыв пласта [1]. При этом возникают задачи определения качества гидроразрыва, геометрии трещин, изменения коллекторских характеристик.

Эффективным и удобным с точки зрения технической реализации способом определения качества перфорации и параметров трещины, образовавшейся вследствие гидроразрыва пласта, является способ, основанный на возбуждении собственных колебаний столба жидкости в скважине. При этом период колебаний, а также интенсивность их затухания определяются не только протяженностью столба жидкости в скважине, ее диаметром и реологическими свойствами жидкости, но и коллекторскими характеристиками призабойной зоны пласта (в частности, коэффициентами проницаемости, качеством перфорации скважин и свойствами трещин, образовавшихся вследствие гидроразрыва пласта).

Колебания жидкости в скважине можно инициировать посредством гидроудара в стволе скважины. Промысловые данные, полученные при таких испытаниях, представлены в работе [2]. Причем вид осциллограмм давления, снятых на различных участках скважин, свидетельствует о том, что они соответствуют собственным колебаниям столба жидкости в скважине. Результаты численного решения уравнений, описывающих распространение возмущений в скважине при остановке нагнетающего насоса (при гидроударе, осуществляемом таким способом), рассмотрены в [3]. В качестве граничного условия на нижнем конце скважины принималось постоянство давления, что соответствует условию отражения от основной границы для волновой задачи. Сравнение расчетных осциллограмм с промысловыми данными показывает, что значения частоты, интенсивности и декремента затухания колебаний удовлетворительно согласуются. Однако такая методика расчета является достаточно трудоемкой для численного моделирования, а постановка граничного условия на нижнем конце скважины в виде свободной границы справедлива лишь в предельном случае вследствие высокой проводимости пласта в призабойной зоне. В этом случае интенсивность затухания осцилляций давления определяется наличием вязкого трения вблизи стенки скважины при колебании столба жидкости. В соответствии с изложенным выше для проведения общего анализа собственных колебаний столба жидкости необходимо рассмотреть эту задачу с более детальным учетом фильтрационных течений вблизи забоя скважины.

**1. Основные уравнения.** Будем полагать, что в исходном состоянии жидкость в системе скважина — пласт находится в состоянии покоя, т. е. течение в вертикальной скважине и горизонтальном пласте отсутствует. Протяженность столба жидкости на закрытом участке скважины длиной  $l$  значительно превышает длину открытого участка:  $l \gg l_p$  (рис. 1).

Предположим, что ось  $z$  направлена вертикально вниз, начало координат находится на верхней границе столба жидкости.

Для жидкости, движущейся в скважине, уравнения сохранения масс и импульсов для возмущений плотности  $\rho$ , давления  $P$  и скорости  $w$  запишем в линеаризованном

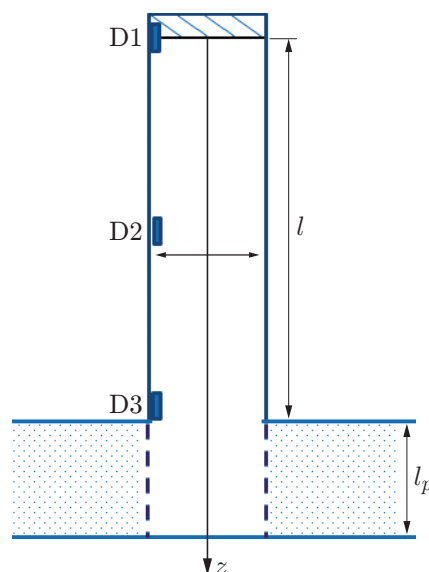


Рис. 1. Схема скважины, сообщающейся с пластом

приближении:

$$\begin{aligned} \frac{\partial \rho}{\partial t} + \rho_0 \frac{\partial w}{\partial z} = 0, \quad \rho_0 \frac{\partial w}{\partial t} + \frac{\partial P}{\partial z} = -\frac{2\sigma}{a} \quad (0 < z < l), \\ \sigma = \mu \int_{-\infty}^t \frac{1}{\sqrt{\pi\nu(t-\tau)}} \frac{\partial w}{\partial t} d\tau, \quad \nu = \frac{\mu}{\rho_0}, \quad \rho = \frac{P}{C^2}, \end{aligned} \quad (1.1)$$

где  $\sigma$  — касательное напряжение в жидкости на поверхности стенки скважины [4];  $\mu, \nu$  — динамическая и кинематическая вязкости жидкости;  $C$  — скорость звука в жидкости.

Выражение для касательных напряжений в (1.1) означает, что при исследовании собственных колебаний столба жидкости в скважине влияние вязкости учитывается лишь в слое вблизи стенки скважины, толщина которого значительно меньше ее радиуса. Зависимость возмущений плотности и давления от их значений при гидростатическом распределении принята в акустическом приближении. Нижний индекс 0 соответствует невозмущенному состоянию.

Будем полагать, что на верхней границе течение столба жидкости ограничено неподвижным поршнем. Тогда граничное условие при  $z = 0$  можно записать в виде

$$w(t, 0) = 0. \quad (1.2)$$

Поскольку протяженность  $l_p$  открытого участка скважины  $l < z < l + l_p$  значительно меньше протяженности закрытого участка  $0 < z < l$ , можно предположить, что возмущение давления на открытом участке однородно и равно  $P_p(t)$ . Поэтому в качестве граничного условия для системы (1.1) при  $z = l$  примем

$$P(l, t) = P^{(l)}(t). \quad (1.3)$$

Причем давление  $P^{(l)}(t)$  является неизвестной функцией, следовательно, выражение (1.3) не замыкает систему граничных условий для (1.1).

Еще одно граничное условие следует из закона сохранения массы на открытом участке. Пусть  $w(l, t) = w^{(l)}(t)$  при  $z = l$ . Тогда с учетом однородности возмущений давления получаем

$$\pi a^2 l_p \frac{\partial \rho_p}{\partial t} = \pi a^2 \rho_0 w^{(l)} - 2\pi a l_p \rho_0 u_a, \quad (1.4)$$

где  $u_a$  — скорость фильтрации жидкости в окружающую проницаемую горную породу через стенку открытого участка скважины. Для определения  $u_a$  в свою очередь необходимо исследовать внешнюю (от открытого участка скважины) фильтрацию в пласте. Поэтому основное уравнение для упругого режима фильтрации в пласте вокруг скважины запишем в виде

$$\frac{\partial P_p}{\partial t} = \varkappa_p \frac{1}{r} \frac{\partial}{\partial r} \left( r \frac{\partial P_p}{\partial r} \right), \quad \varkappa_p = \frac{k_p \rho_0 C^2}{m_p \mu}, \quad l < z < l + l_p, \quad a < r < \infty, \quad (1.5)$$

при этом граничные условия на границе скважина — пласт и на большом расстоянии от скважины имеют вид

$$P_p|_{r=a} = P^{(l)}, \quad P_p|_{r=\infty} = 0. \quad (1.6)$$

Скорость фильтрации через стенку скважины находим из выражения

$$u_a = u^{(p)}|_{r=a} = -\frac{k_p}{\mu} \left( \frac{\partial P_p}{\partial r} \right) \Big|_{r=a}.$$

С учетом (1.6) и уравнения состояния жидкости (1.1) из (1.4) следует

$$\frac{1}{\rho_0 C^2} \frac{\partial P^{(l)}}{\partial t} = \frac{w^{(l)}}{l_p} + \frac{2k_p}{a\mu} \left( \frac{\partial P_p}{\partial r} \right) \Big|_{r=a}. \quad (1.7)$$

Пренебрегая упругостью жидкости, находящейся на открытом участке скважины  $l < z < l + l_p$ , из (1.7) при  $C \rightarrow \infty$  получаем

$$\frac{w^{(l)}}{l_p} + \frac{2k_p}{a\mu} \left( \frac{\partial P_p}{\partial r} \right) \Big|_{r=a} = 0. \quad (1.8)$$

В случае если фильтрационные возмущения локализованы в призабойной зоне вблизи стенки скважины, вместо уравнения (1.5) можно использовать уравнение

$$\frac{\partial P_p}{\partial t} = \varkappa_p \frac{\partial^2 P_p}{\partial x^2} \quad (x = r - a). \quad (1.9)$$

**2. Решение в виде стоячих волн.** Рассмотрим задачу о собственных затухающих колебаниях столба жидкости в скважине. Решение уравнений (1.1) будем искать в виде

$$P = A^{(p)}(z) e^{i\omega t}, \quad w = A^{(w)} e^{i\omega t}, \quad (2.1)$$

где  $\omega = \Omega + i\delta$  — комплексная частота собственных колебаний, причем действительная часть  $\Omega$  описывает период колебаний  $T = 2\pi/\Omega$ , а мнимая часть  $\delta$  — интенсивность затухания.

Подставляя (2.1) в систему (1.1) и проводя некоторые преобразования, получаем

$$\frac{i\omega}{\rho_0 C^2} A^{(p)} + \frac{d}{dz} A^{(w)} = 0, \quad \frac{1}{\rho_0 i\omega(1 + 2/y)} \frac{d}{dz} A^{(p)} + A^{(w)} = 0, \quad (2.2)$$

где  $y = (i\omega a^2/\nu)^{1/2}$ .

Исключая  $A^{(w)}$  из уравнений (2.2), находим

$$\frac{d^2 A^{(p)}}{dz^2} + k^2 A^{(p)} = 0, \quad (2.3)$$

где

$$k^2 = (1 + 2/y)\omega^2/C^2.$$

Общее решение уравнения (2.3) имеет вид

$$A^{(p)} = C_1 \cos(kz) + C_2 \sin(kz).$$

Из граничного условия (1.2) при  $z = 0$  следует  $A^{(w)}(0) = 0$ . Поэтому постоянная  $C_2$  должна быть равна нулю ( $C_2 = 0$ ). Следовательно, для  $A^{(p)}$  и  $A^{(w)}$  (с учетом второго уравнения (2.2)) имеем

$$A^{(p)} = C_1 \cos(kz), \quad A^{(w)} = i \frac{C_1}{\rho_0} \frac{k \sin(kz)}{\omega(1 + 2/y)}. \quad (2.4)$$

При  $z = l$  для закона изменения параметров  $P^{(l)}$  и  $w^{(l)}$  находим

$$P^{(l)} = P|_{z=l} = A^{(p)}(l) e^{i\omega t}, \quad w^{(l)} = w|_{z=l} = i \frac{C_1}{\rho_0} \frac{k \sin(kl)}{\omega(1 + 2/y)} e^{i\omega t}. \quad (2.5)$$

В призабойной зоне должно выполняться граничное условие (1.6). Для нахождения градиента давления на стенке открытого участка скважины находим решение уравнения (1.5), соответствующее граничному условию

$$P_p|_{r=a} = P^{(l)} = C_1 \cos(kl) e^{i\omega t}, \quad P_p \rightarrow 0 \quad \text{при} \quad r \rightarrow \infty. \quad (2.6)$$

Решение ищем в виде

$$P_p = A^{(p)}(r) e^{i\omega t}. \quad (2.7)$$

Подставляя (2.7) в (1.5), получаем

$$q^2 A^{(p)}(r) = \frac{1}{r} \frac{\partial}{\partial r} \left( r \frac{d}{dr} A^{(p)}(r) \right), \quad q = \sqrt{\frac{i\omega}{\varkappa_p}}. \quad (2.8)$$

Решение уравнения (2.8), удовлетворяющее граничным условиям (2.6), запишем в виде

$$A^{(p)}(r) = A^{(p)}(l) \frac{K_0(rq)}{K_0(aq)} \quad (2.9)$$

$(K_0(x) = \int_0^\infty e^{-x \operatorname{ch} \xi} d\xi$  — функция Макдональда нулевого порядка).

Подставляя выражения (2.5), (2.6) в (1.7), после некоторых преобразований получаем

$$\operatorname{tg} kl = \left( \frac{2m_p}{\tilde{z}} \frac{K_0'(\tilde{z})}{K_0(\tilde{z})} - 1 \right) kl_p, \quad \tilde{z} = aq, \quad q = \sqrt{\frac{i\omega}{\varkappa_p}} \quad (2.10)$$

$(K_0'(\tilde{z}) = -K_1(\tilde{z}); K_1(\tilde{z})$  — функция Макдональда первого порядка).

Принимая (1.8) вместо (1.7), а уравнение фильтрации записывая в приближении (1.9), уравнение (2.10) представим в виде

$$\operatorname{tg} kl = -\frac{2m_p kl_p}{\tilde{z}}. \quad (2.11)$$

Уравнение (2.11) также следует из (2.10) при  $aq \rightarrow \infty$ . Уравнения (2.10), (2.11) и выражения

$$k = (\omega/C) \sqrt{1 + 2/y}, \quad y = \sqrt{i\omega a^2/\nu}, \quad q = \sqrt{i\omega/\varkappa_p}$$

являются характеристическими уравнениями для определения комплексных частот  $\omega = \Omega + i\delta$ .

**3. Собственные частоты для идеального резонатора.** В пренебрежении вязкостью в скважине ( $\nu = 0$ ) для призабойной зоны рассмотрим два предельных случая.

В первом случае будем полагать, что протяженность открытого участка скважины равна нулю ( $l_p = 0$ ), во втором случае пласт имеет бесконечную проницаемость ( $k_p \rightarrow \infty$ ,  $\varkappa_p \rightarrow \infty$ ). В этих случаях из (2.10) получаем два уравнения

$$\operatorname{tg}(\omega l/C) = 0, \quad \operatorname{ctg}(\omega l/C) = 0.$$

Отсюда для собственных частот имеем

$$\begin{aligned} \Omega_{(n)}^{(0)} &= \pi n C/l, & \delta_{(n)}^{(0)} &= 0 & (n = 1, 2, 3, \dots), \\ \Omega_{(n)}^{(0)} &= \pi C/(2l) + \pi n C/l, & \delta_{(n)}^{(0)} &= 0 & (n = 0, 1, 2, \dots). \end{aligned}$$

Следовательно, для первой гармоники (для наиболее низких собственных частот) в первом и втором случаях получаем

$$\Omega_{(1)} = \frac{\pi C}{l}, \quad k_{(1)} = \frac{\pi}{l}, \quad \Omega_{(0)} = \frac{\pi C}{2l}, \quad k_{(0)} = \frac{\pi}{2l}. \quad (3.1)$$

Таким образом, рассматриваемая задача имеет бесконечное количество собственных частот. Представляет интерес исследование наиболее низких частот, поскольку колебания с этими частотами являются наиболее “долгоживущими”.

Решения (2.1) для распределения давления и скорости в скважине для рассматриваемых случаев принимают вид

$$\begin{aligned} P &= C_1 \cos\left(\frac{\pi z}{l}\right) \cos\left(\frac{\pi Ct}{l}\right), & w &= -\frac{C_1}{C} \sin\left(\frac{\pi z}{l}\right) \sin\left(\frac{\pi Ct}{l}\right), \\ P &= C_1 \cos\left(\frac{\pi z}{2l}\right) \cos\left(\frac{\pi Ct}{2l}\right), & w &= -\frac{C_1}{C} \sin\left(\frac{\pi z}{2l}\right) \sin\left(\frac{\pi Ct}{2l}\right). \end{aligned} \quad (3.2)$$

Из (3.2) следует, что значения круговой частоты и соответственно периодов колебаний для рассмотренных предельных случаев различаются в два раза. Решение определяется с точностью до произвольной постоянной. В дальнейшем эту постоянную примем равной единице, т. е. значение давления нормируется на его значение при  $z = 0$ .

**4. Приближенные решения в случае слабых затуханий.** Рассмотрим для двух предельных случаев  $l_p = 0$ ,  $k_p \rightarrow \infty$  затухание собственных колебаний при наличии вязкого трения вблизи стенок скважины. Будем полагать, что для собственных частот  $\Omega_{(1)}$  и  $\Omega_{(0)}$ , полученных при  $\nu = 0$  и определяемых формулами (3.1), выполняются условия

$$|y_{(1)}| = \sqrt{\Omega_{(1)} a^2 / \nu} \gg 1, \quad |y_{(0)}| = \sqrt{\Omega_{(0)} a^2 / \nu} \gg 1.$$

Тогда уравнение (2.11) для двух предельных случаев принимает вид

$$\operatorname{tg}\left(\frac{\omega l}{C} \sqrt{1 + \frac{2}{y}}\right) = 0, \quad \operatorname{ctg}\left(\frac{\omega l}{C} \sqrt{1 + \frac{2}{y}}\right) = 0. \quad (4.1)$$

Решение уравнений (4.1) будем искать в виде

$$\omega = \Omega_{(1)}(1 + \varepsilon_{(1)}), \quad \omega = \Omega_{(0)}(1 + \varepsilon_{(0)}), \quad (4.2)$$

где  $\varepsilon_{(1)}$ ,  $\varepsilon_{(0)}$  — комплексные числа, причем  $|\varepsilon_{(1)}| \ll 1$ ,  $|\varepsilon_{(0)}| \ll 1$ .

Из уравнений (4.1) следует

$$\frac{\omega l}{C} \sqrt{1 + \frac{2}{y}} = \pi, \quad \frac{\omega l}{C} \sqrt{1 + \frac{2}{y}} = \frac{\pi}{2}.$$

Подставляя в (4.1) вместо  $\omega$  выражение (4.2) и сохраняя только линейные слагаемые по малым параметрам, получаем

$$\varepsilon_{(1)} = -\frac{1}{y_{(1)}}, \quad \varepsilon_{(0)} = -\frac{1}{y_{(0)}} \quad \left(y_{(i)} = \sqrt{\frac{i\Omega_{(i)} a^2}{\nu}}, \quad i = 1, 0\right). \quad (4.3)$$

Подставляя выражения (4.3) в (4.2) и учитывая выражения (3.1) для собственных частот и коэффициентов затухания, в первом приближении запишем

$$\begin{aligned} \Omega_{(1)}^{(1)} &= \frac{\pi C}{l} \left(1 - \sqrt{\frac{\nu l}{2\pi C a^2}}\right), & \delta_{(1)}^{(1)} &= \sqrt{\frac{\pi}{2}} \frac{\nu C}{l a^2}, \\ \Omega_{(0)}^{(1)} &= \frac{\pi C}{2l} \left(1 - \sqrt{\frac{\nu l}{\pi C a^2}}\right), & \delta_{(0)}^{(1)} &= \frac{1}{2} \sqrt{\frac{\pi \nu C}{l a^2}}. \end{aligned}$$

Аналогичным образом находим первые приближения для частоты и коэффициента затухания при наличии фильтрации, при этом вязкостным трением в скважине будем пренебрегать ( $\nu = 0$ ). Тогда из уравнения (2.11) следует

$$\operatorname{tg}\left(\frac{\omega l}{C}\right) = -2 \frac{m_p \omega l_p}{\tilde{z} C}. \quad (4.4)$$

Пусть правая часть (4.4) при  $\omega = \Omega_{(1)}$  удовлетворяет условию

$$\frac{2m_p l_p}{C^2} \frac{|\Omega_{(1)}|}{|\tilde{z}_{(1)}|} \ll 1, \quad |\tilde{z}_{(1)}| = \sqrt{\frac{\Omega_{(1)} a^2}{\varkappa_p}}. \quad (4.5)$$

Решение уравнения относительно  $\omega$  также ищем в виде

$$\omega = \Omega_{(1)}(1 + \varepsilon_{(1)}). \quad (4.6)$$

Подставляя (4.6) в (4.4), аналогичным образом находим

$$\varepsilon_{(1)} = -m_p(1 - i) \sqrt{\frac{2\varkappa_p}{\pi C l}} \frac{l_p}{a}. \quad (4.7)$$

Подставляя выражение (4.7) в (4.2), получаем

$$\Omega_{(1)}^{(1)} = \frac{\pi C}{l} \left(1 - m_p \sqrt{\frac{2\varkappa_p}{\pi C l}} \frac{l_p}{a}\right), \quad \delta_{(1)}^{(1)} = m_p \sqrt{\frac{2\pi C \varkappa_p}{l^3}} \frac{l_p}{a}.$$

Рассмотрим случай  $\tilde{z} \rightarrow 0$ .

Из уравнения (2.10) с учетом асимптотики  $K_0(\tilde{z}) = -\ln \tilde{z}$  при  $\tilde{z} \rightarrow 0$  имеем

$$\operatorname{tg}(kl) = \frac{2m_p k l_p}{\tilde{z}^2 \ln \tilde{z}}. \quad (4.8)$$

Проведя преобразования, аналогичные (4.5)–(4.7), из (4.8) для частоты собственных колебаний и коэффициента затухания получаем следующие приближенные выражения:

$$\Omega_{(0)}^{(0)} = \frac{\pi C}{2l} \left(1 + \frac{\pi a^2 \nu}{4k_p C l_p}\right), \quad \delta_{(0)}^{(1)} = -\frac{\pi a^2 \nu \ln |\tilde{z}_0|}{4k_p l_p l} \quad \left(|\tilde{z}_0| = a \sqrt{\frac{\pi C}{2l \varkappa_p}}\right).$$

Очевидно, что эти формулы справедливы при больших значениях коэффициента проницаемости  $k_p$ .

**5. Численные расчеты.** Решение для закона изменения давления в скважине согласно (2.1), (2.4) определено с точностью до произвольного постоянного множителя  $C_1$ . В расчетах примем  $C_1 = 1$ . Это означает, что распределение давления нормировано относительно значения при  $z = 0$ , т. е. вместо  $P$  будем использовать нормированное значение  $P/A^{(p)}(0)$ :

$$P = \cos(kz) e^{i\omega t}, \quad k = (\omega/C) \sqrt{1 + 2/y} \quad (5.1)$$

( $k$  — волновое число, которое определяется через комплексную частоту и является комплексным:  $k = K + i\beta$  ( $K = \operatorname{Re} k$ ,  $\beta = \operatorname{Im} k$ )). Тогда действительную часть решения для  $P$  из (5.1) можно записать в виде

$$\operatorname{Re}(P) = A(z) e^{-\delta t} \cos(\Omega t + \varphi),$$

$$A(z) = \sqrt{\cos^2(Kz) \operatorname{ch}^2(\beta z) + \sin^2(Kz) \operatorname{sh}^2(\beta z)}, \quad \operatorname{tg} \varphi = -\operatorname{tg}(Kz) \operatorname{th}(\beta z).$$

В расчетах в качестве жидкости рассматривалась вода, имеющая следующие физические параметры:  $\rho_0 = 10^3$  кг/м<sup>3</sup>,  $C = 1,5 \cdot 10^3$  м/с,  $\mu = 10^{-3}$  Па·с. Для скважины и пласта принималось  $l = 1500$  м,  $l_p = 20$  м,  $m_p = 10^{-1}$ .

На рис. 2 приведены зависимости собственной частоты  $\Omega$ , коэффициента затухания  $\delta$  и декремента затухания  $\Delta = 2\pi\delta/\Omega$  от коэффициента проницаемости пласта при различных значениях длины  $l_p$  открытого участка скважины. Видно, что с увеличением коэффициента проницаемости пласта в рассматриваемом диапазоне частота собственных колебаний

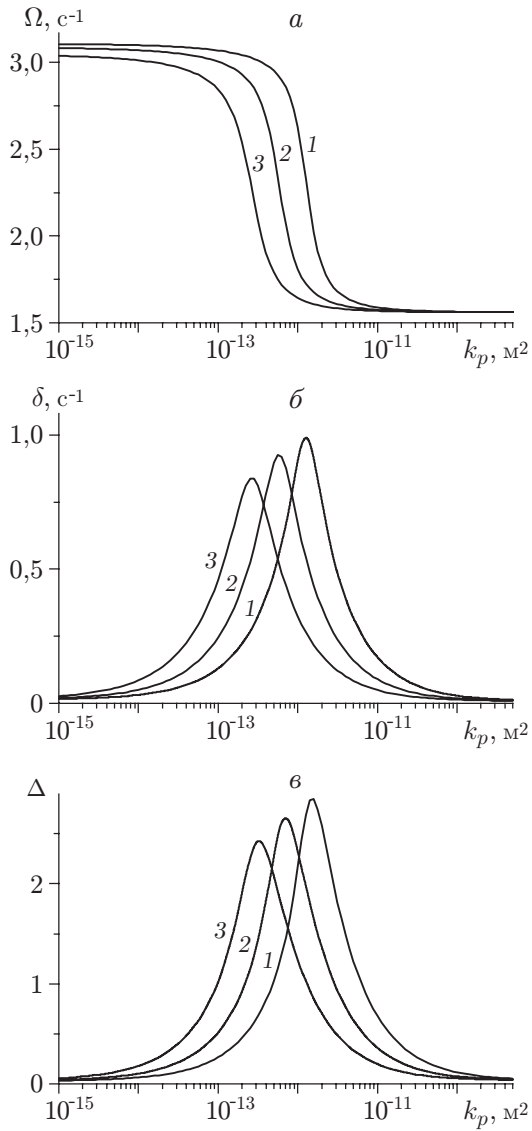


Рис. 2

Рис. 2. Зависимости собственной частоты (*a*), коэффициента затухания (*б*), декремента затухания (*в*) от коэффициента проницаемости пласта при различных значениях длины открытого участка скважины:

1 —  $l_p = 10$  м, 2 —  $l_p = 20$  м, 3 —  $l_p = 40$  м

Рис. 3. Распределения амплитуды колебаний столба жидкости (*a*) и сдвига по фазе (*б*) по глубине скважины при различных значениях коэффициента проницаемости:

1 —  $k_p = 10^{-14}$  м<sup>2</sup>, 2 —  $k_p = 10^{-12}$  м<sup>2</sup>, 3 —  $k_p = 10^{-10}$  м<sup>2</sup>

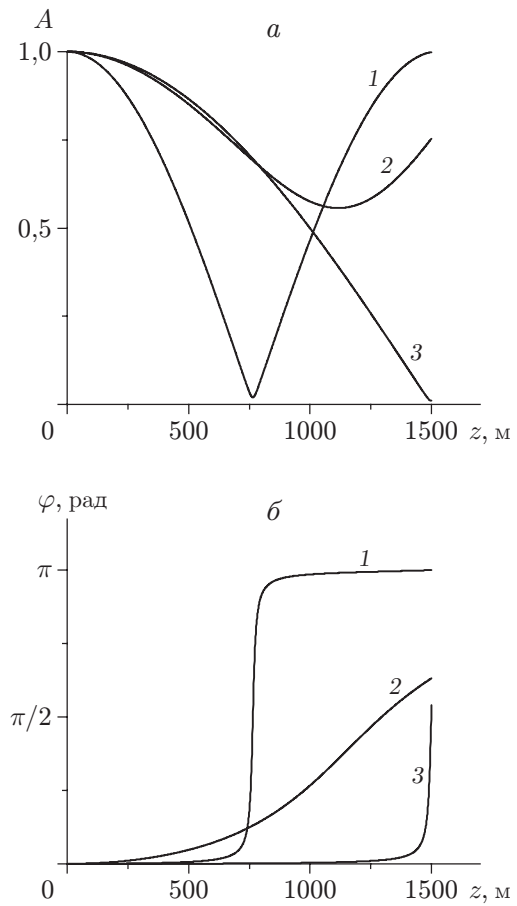


Рис. 3



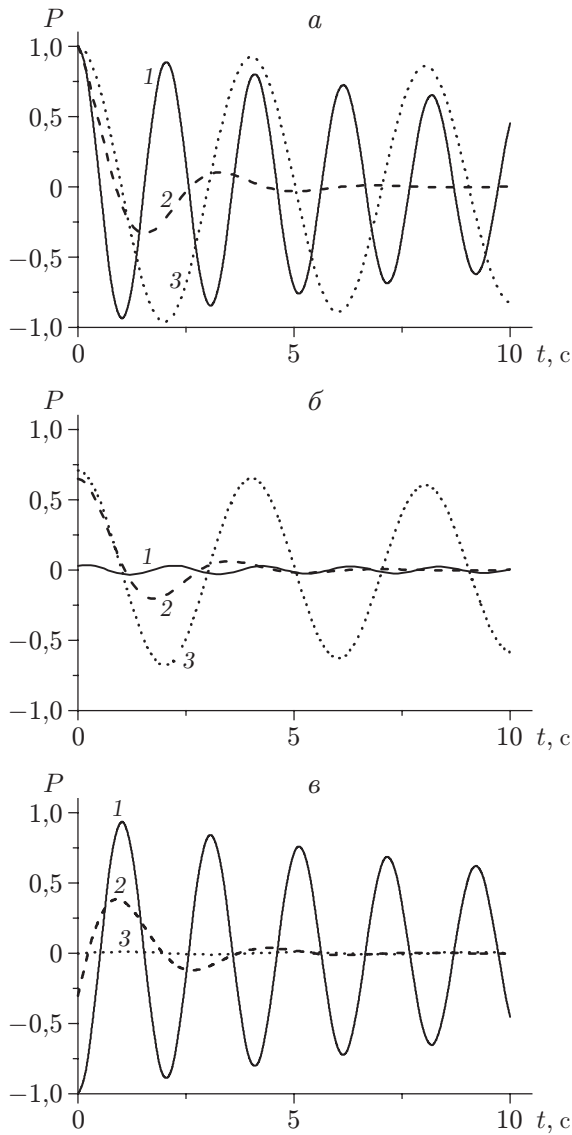


Рис. 4

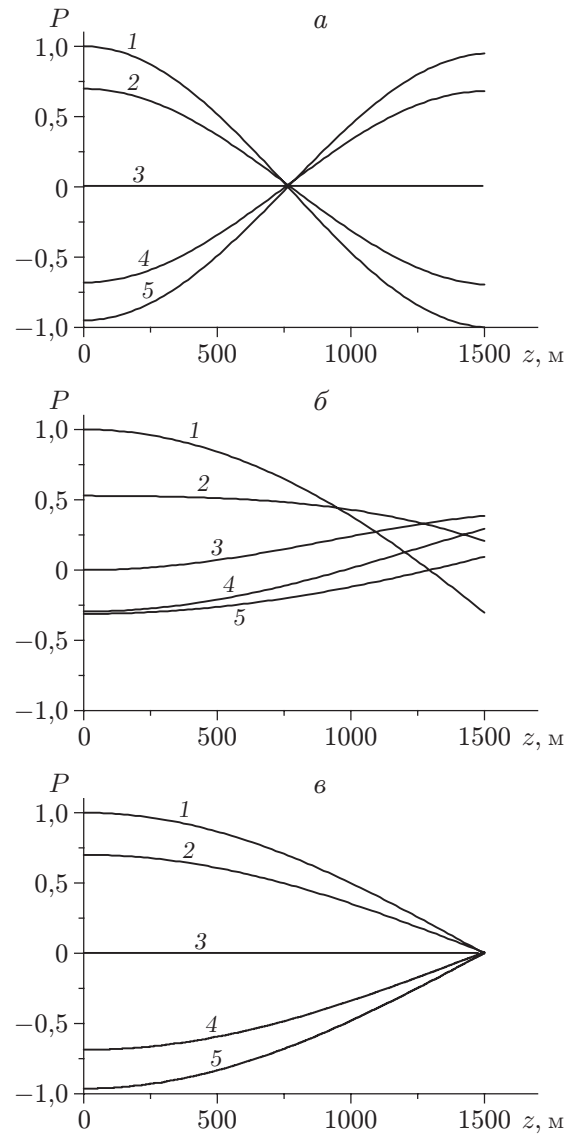


Рис. 5

Рис. 4. Зависимость давления от времени в точках расположения датчиков  $z = 0$  (а),  $z = 750$  м (б),  $z = 1500$  м (в) при различных значениях коэффициента проницаемости:

1 —  $k_p = 10^{-14}$  м<sup>2</sup>, 2 —  $k_p = 10^{-12}$  м<sup>2</sup>, 3 —  $k_p = 10^{-10}$  м<sup>2</sup>

Рис. 5. Распределение давления по координате  $z$  при различных значениях коэффициента проницаемости в различные моменты времени:

а —  $k_p = 10^{-14}$  м<sup>2</sup>, б —  $k_p = 10^{-12}$  м<sup>2</sup>, в —  $k_p = 10^{-10}$  м<sup>2</sup>; 1 —  $\Omega t = 0$ , 2 —  $\Omega t = \pi/4$ , 3 —  $\Omega t = \pi/2$ , 4 —  $\Omega t = 3\pi/4$ , 5 —  $\Omega t = \pi$

монотонно уменьшается в интервале значений, определяемом формулами (3.1). Таким образом, при изменении коэффициента проницаемости в диапазоне  $10^{-15} \text{ м}^2 \leq k_p \leq 10^{-10} \text{ м}^2$  период колебаний увеличивается приблизительно в два раза.

Наиболее нетривиальными результатами являются немонотонные зависимости коэффициента затухания  $\delta$  и декремента затухания  $\Delta$  от коэффициента проницаемости пласта.

На рис. 3 показаны распределения амплитуды  $A$  колебаний столба жидкости и сдвига по фазе  $\varphi$  по глубине  $z$  скважины при различных значениях коэффициента проницаемости. Видно, что при малых значениях коэффициента проницаемости с увеличением глубины сдвиг фаз колебаний наблюдается в диапазоне  $0 \div \pi$ . При больших значениях проницаемости сдвиг фаз происходит в диапазоне  $0 \div \pi/2$ .

На рис. 4 приведены осциллограммы датчиков D1, D2, D3, расположенных в точках с координатами  $z = 0, 750, 1500$  м соответственно (см. рис. 1), при различных значениях коэффициента проницаемости. Видно, что при увеличении проницаемости частота колебаний уменьшается и происходит их более быстрое затухание.

На рис. 5 представлено распределение давления вдоль скважины в различные моменты времени и при различных значениях коэффициента проницаемости.

**Заключение.** Таким образом, результаты анализа собственных колебаний жидкости внутри скважины позволяют получить данные о качестве открытого участка скважины, ее геометрических характеристиках, коллекторских свойствах призабойной зоны.

## ЛИТЕРАТУРА

1. Эрлагер Р. Гидродинамические методы исследования скважин. М.; Ижевск: Ин-т компьютер. исслед., 2006.
2. Wang X., Novem K., Moos D., Quan Y. Water hammer effects on water injection well performance and longevity // SPE Intern. symp. and exhibition on formation damage control, Lafayette (USA), 13–15 Febr. 2008. SPE 112282.
3. Ляпидевский В. Ю., Неверов В. В., Кривцов А. М. Математическая модель гидроудара в вертикальной скважине // Сиб. электрон. мат. изв. 2018. № 15. С. 1687–1696.
4. Хусаинов И. Г. Акустическое зондирование перфорированных скважин короткими волнами // ПМТФ. 2013. Т. 54, № 1. С. 86–93.

*Поступила в редакцию 27/IV 2020 г.,  
после доработки — 27/IV 2020 г.  
Принята к публикации 25/V 2020 г.*